

### III-25 実堤周囲の洗掘に関する実験

神戸大学工学部 正員 杉本修一

昨年の土木学会や15回年次学術講演会(昭35・5)において筆者は、"水制周囲の洗掘は水制周囲の河床に作用する静水圧勾配に大きく支配されるのではないか?"といふことが予想される"といふことを述べ、且つ、無限に一直線に延びた岸より突出した角に或いは斜めに突き出た一本の水制、およびそれが岸と隅に並んで二つの場合についてその周囲における水の流れについての概要を述べた。以前にも述べたように水制においては洗掘よりも堆積の方が重要であると思われる場合があるが洗掘機構が判明すれば堆積機構についても推測することが出来るであろうと思われるからである。

その後、無限に一直線に延びた岸より直角に突き出た一本の水制、および上流側に20度傾いて突き出た一本の水制の夫々について若干の数値計算と実験を行つたので、それについて述べる。

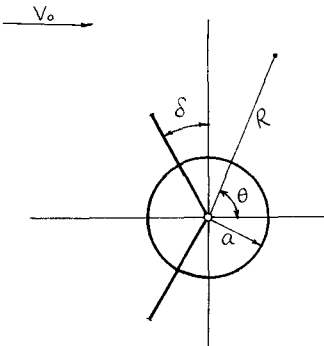
先づ実験の基礎となる水制周囲の流れについて述べる。

岸から突き出ている水制は、岸と軸として対稱になった屈折板が一樣な流れの中に置かれたとき屈折板の中央に対して流れは対稱になる。そこで屈折板の中央より上半面を考えれば、この流れの状態は岸から突き出ている水制周囲の流れと同等である。

#### 1. 屈折板周囲の流れ。

同一平面における半径  $a$  の円は同一平面において

$$\zeta = \frac{(\xi - a)^{1+k} (\xi + a)^{1-k}}{\xi}, \quad k = \frac{2}{\pi} \delta.$$



する写像関数によつて原点において折れ曲った二つの半長径に写像される。

また、同一平面における半径  $a$  の円に対するボテンシャル関数  $W$  はよく知られてゐるようだ。

$$W = V_0 \left( \xi + \frac{a^2}{\xi} \right).$$

であり、同一平面における複素速度は  $\frac{dW}{dz} = \frac{dW}{d\xi} \frac{d\xi}{dz} = u - i v$  であるが、この合速度を  $|f_1|^2$  とし、その自乗  $\frac{|f_1|^2}{V_0^2}$  を求むれば

$$\frac{|f_1|^2}{V_0^2} = \frac{|f_1|^2}{|f_2|^2}, \quad \text{故に} \quad |f_1|^2 = \left( \xi^4 - 2\xi^2 \cos 2\theta + 1 \right) \left( \frac{\xi^2 + 2k\xi \cos \theta + 1}{\xi^2 - 2k\xi \cos \theta + 1} \right)^k, \quad \xi = \frac{R}{a}.$$

$$|f_2|^2 = \left( \xi^4 + 2\xi^2 \cos 2\theta + 1 \right) + 4k\xi(1+\xi^2) \cos \theta + 4k^2\xi^2.$$

#### 2. 実堤周囲の水面の高さ。

無限遠における水深を  $H$ 、任意の点における水深を  $h$  とすれば Bernoulli の定理より

$$H + \frac{V_0^2}{2g} = h + \frac{h^2}{2g} = \text{const.} \quad \therefore \frac{h}{H} = 1 - \frac{V_0^2}{2gH} \left( 1 - \frac{h^2}{V_0^2} \right).$$

いま、上式<sup>1</sup>式の第2項  $(1 - \frac{h^*}{H})^2 = \frac{h^*}{H}$  として、岸より垂直に突出した場合と、上流側は  $20^\circ$ 傾いて突き出ている場合における  $h^*/H$  を上式<sup>1</sup>より計算したものが図-1および2。

河床に作用する静水圧  $p$  は水の密度を  $\rho$  として、 $p = \rho h$  で表すとする。ゆえに圧力勾配は  $\text{grad } p = \rho \text{ grad } h$  となる。この  $\text{grad } p$  は  $\text{grad } h$  を計算する式である。

### 3. 実験。

本学土木工学科教室設置の幅30cm、深さ20cm、直線部7M90の先に外径1M00、内径70cmの四分の一円の弯曲部を有する鉄筋盤水路に長さ10cmのアクリライト合成樹脂板を突堤模型として右岸壁に設置して、底面に細砂を4cmの厚さに一様に整え、水深6.3cm、平均流速11.3cm/sで実験を行つた。

実験結果を要約すれば、水制より前面におけるはボテンシャル流より推定される洗掘と非常によく似た洗掘をするが、しかし水制先端におけるは非常に流速が速くなり、水制先端より自由流線が発生し、その自由流線はやがて不安定となり渦列を生じ、その渦列の間に交互に局部的に深く洗掘されるようである。

図-1

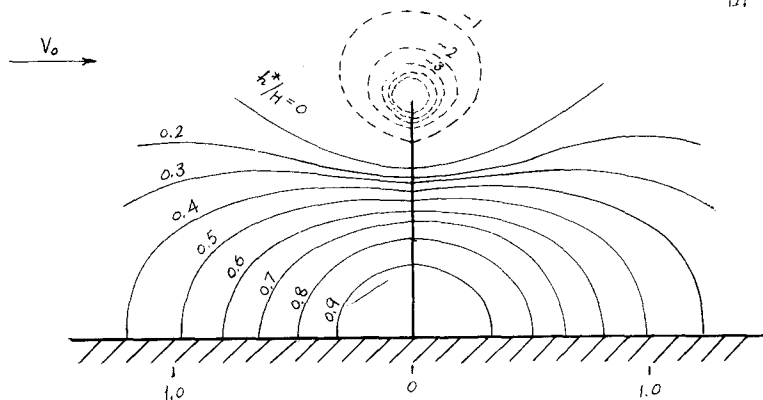


図-2

